

بررسی ویژگی‌های هیدرولوژیکی آبخوان کارستی چشم‌علی دامغان

سید موسی حسینی^{*}، هاجر قدیری^۲، فاطمه گراوند^۳

۱-دانشیار گروه جغرافیای طبیعی، دانشکده جغرافیا، دانشگاه تهران

۲-فارغ التحصیل کارشناسی ارشد ژئومورفولوژی، دانشکده جغرافیا، دانشگاه تهران

۳-دانشجوی دکترای ژئومورفولوژی، دانشکده جغرافیا، دانشگاه تهران

پذیرش مقاله: ۱۳۹۷/۲/۱۸

تأیید نهایی مقاله: ۱۳۹۷/۷/۲۸

چکیده

چشم‌علی دامغان با متوسط آبدهی روزانه ۱۴۰ لیتر در ثانیه اهمیت زیادی در تأمین نیازهای شرب و کشاورزی منطقه دارد. در این تحقیق با بررسی آماری داده‌های بارش و دبی روزانه چشم‌علی دامغان از سال ۱۳۸۰ تا ۱۳۸۸، درک عمیق‌تری از ویژگی‌های هیدرولوژیکی این آبخوان کارستی ارائه شده است. براساس طبقه‌بندی آبخوان کارستی مانجین، سیستم مجرایی در بخش بالایی آبخوان، نسبت به بخش‌های نزدیک به خروجی چشم‌علی از درجه توسعه یافته‌گی بالاتری برخوردارند. آنالیز همبستگی متقطع بین داده‌های دبی روزانه چشم‌علی و بارندگی تجمعی (۱ تا ۳۶۵ روزه) نشان داد بارش‌های همان روز تا ۳۰۰ روز قبل بر جریان خروجی چشم‌علی در روز متناظر تأثیر قابل توجهی دارند. آنالیز خشکسالی هیدرولوژیک دبی چشم‌علی به روش جریان‌های کمینه و با تداوم‌های ۳، ۷ و ۱۰ روزه نشان داد که آبدهی متوسط روزانه چشم‌علی در ۹۹٪ موقوع می‌توان انتظار داشت به ترتیب برابر و کمتر از ۲۱۳، ۲۶۲ و ۳۵۰ لیتر بر ثانیه باشد. هم‌چنین برای دوره‌های بازگشت کمتر از ۵ سال که دارای احتمال وقوع بالایی نیز هستند تفاوت چندانی بین دبی‌های پیش‌بینی شده مشاهده نمی‌شود.

واژه‌های کلیدی: آنالیز خشکسالی، بارش مؤثر، چشم‌علی، روش مانجین، آبخوان کارستی.

معادلات مانجین (۱۹۷۵) و کوتین (۱۹۶۸) مورد تحلیل قرار دادند و درصد مشارکت جریان سریع و پایه از حجم کل آب ذخیره شده در آبخوان را تعیین نمودند. تاد و کارل (۱۹۹۸) از آوریل ۱۹۹۴ تا می ۱۹۹۵ هیدروگراف‌های جریان سیلان در سفره آب زیرزمینی کارست را با مجراهای کاملاً توسعه یافته به دست آورند. فیوریلو و همکاران (۲۰۰۷) آنالیز همبستگی آماری بین مقادیر بارش مؤثر و دبی خروجی چشم‌کارستی سرینو^۱ واقع در جنوب ایتالیا را بر اساس آمار طولانی مدت داده‌های روزانه طی ۵۳ سال مورد بررسی قرار دادند. ایشان نتیجه گرفتند که آبدهی این چشم‌کارست تحت تأثیر فاکتورهای اقلیمی مدیترانه‌ای قرار دارد. شفیعی مطلق و لشکری‌پور (۱۳۸۷)، برای اولین بار روی چشم‌کارستی کورسا در جنوب‌غربی دهدشت در استان کهگیلویه و بویراحمد به بررسی‌های هیدرولوژیکی سفره کارستی آبدار منطقه، برآورده حجم دینامیکی چشم‌کارست، بررسی‌های هیدروشیمیایی و اقدام به نمونه‌برداری نموده‌اند. شکری (۱۳۹۰) برای مطالعه هیدرولوژیکی چشم‌علی دامغان به بررسی توسعه کارست سطحی و درونی نمود و به این نتیجه رسید که حدود ۱۸/۳ درصد از حوضه آبگیر چشم‌کارست با توسعه کم کارست و تنها ۲/۶۷ درصد از حوضه آبگیر را نواحی با توسعه خیلی زیاد کارست تشکیل می‌دهد و شکل باریک این آبخوان در تغذیه مداوم و پیوسته چشم‌کارست تأثیرگذار است. هم‌چنین با بررسی پارامترهای فیزیکی و شیمیایی و تغییرپذیری اندازه ویژگی‌های چشم‌کارست مشخص شد که سیستم جریان حاکم در این آبخوان، از نوع جریان افشار است. با توجه به اهمیت آبخوان کارستی چشم‌علی دامغان در تأمین نیاز شرب و کشاورزی منطقه، به مطالعه هیدرولوژیکی این

مقدمه

حدود ۲۵ درصد از منابع آب‌های زیرزمینی جهان در تشکیلات کارستی ذخیره شده است و به عنوان یکی از منابع مهم تأمین کننده نیازهای آبی محسوب می‌شوند (فورد و ویلیامز، ۲۰۰۷). در ایران حدود ۱۱ درصد از وسعت کشور را نواحی کارستی تشکیل می‌دهد (افراسیابیان، ۱۳۷۲). مدیریت محیط‌های کارستی (شامل خاک و آب زیرزمینی و کنترل آلودگی‌ها) از اهمیت ویژه‌ای برخوردار است (بوناسی، ۲۰۱۳) سنگ‌های آهکی که محل شکل‌گیری آبخوان‌های کارستی می‌باشند، در مراحل اولیه تشکیل، تخلخل و نفوذ پذیری کمی دارند، ولی بعداً بر اثر عوامل تکتونیکی درز و شکاف و گسل‌هایی به وجود می‌آید که همراه با آب باران در آنها انحلال ایجاد می‌شود و در نتیجه اشکال مناطق کارستی را به وجود می‌آورند (میلانوبک، ۱۹۸۱). هیدروگراف جریان خروجی از آبخوان کارستی که عموماً در قالب چشم‌کارستی می‌باشند، تصویر روشنی از پاسخ تشکیلات کارستی را در مقابل حرکت‌های ورودی که شامل تغذیه از سطح زمین می‌باشد به دست می‌دهد (بوناسی، ۱۹۸۷). آنالیز منحنی فرود هیدروگراف روش مهمی در بررسی‌های هیدرولوژیکی است که برای تفسیر ویژگی‌های آبخوان‌های کارستی استفاده می‌شود (کرسیک و بوناسی، ۲۰۱۰). شکل منحنی فروکش جریان چشم‌کارستی تابعی از اندازه و حجم آبخوان کارستی و مشخصات هیدرودینامیک آبخوان می‌باشد. مطالعات متعددی بر روی ویژگی‌های هیدرولوژیکی و هیدروشیمیایی جریان خروجی از چشم‌کارستی کشور و تغییرات زمانی آنها در طول سال انجام شده است. به عنوان مثال، پادیلا و همکاران (۱۹۹۴)، هیدروگراف‌های فروکش چهار چشم‌کارستی در اروپا را توسط

نیمه خشک را در این منطقه موجب شده است. قسمت اعظم بارش‌ها در این حوضه به صورت برف است که منجر می‌شود بیشترین آبده‌ی چشمی در فروردین ماه رخ دهد (شهربازی و همکاران، ۱۳۹۰). از نظر ژئومورفولوژی، ارتفاعات شمالی چشمی‌علی دارای دو تیپ کوهستانی همراه با دشت آبرفتی کوچکی در حد واسط آن می‌باشد. این منطقه فاقد پدیده‌های ژئومورفولوژیکی مهم کارستی از قبیل گودی‌های مسدود، فروچاله‌ها، درزه‌ها و شکستگی‌های انحلالی بزرگ و عمیق است. بازدیدهای صحراوی در برخی نواحی آثار قطرات باران، شکستگی‌های کم و بیش بزرگ، حفرات لانه کبوتری و کارن را نشان می‌دهد (کرمی، ۱۳۸۳). از نظر زمین‌شناسی، عملکرد نسبتاً شدید راندگی‌ها، تکتونیک بلوکی و حوضه‌های رسوبی محدود به زون‌های گسلی، سبب به هم خوردگی نظم اولیه توالی‌ها و ضخامت واحد-های سنگ چینه‌ای هم سن و هم زمان شده است (پایگاه ملی داده‌های علوم زمین). از نظر چینه‌شناسی، سازند نفوذناپذیر زیرین شمشک باعث محدود کردن ارتباط‌های هیدرولوژیکی با آبخوان-های زیرین و ممانعت از جریان آبهای زیرزمینی به سمت نواحی دورتر می‌شود، بنابراین مرز سازند شمشک با آهک‌های منطقه یکی از مرزهای حوضه آبگیر چشمی می‌باشد. گسلی با فاصله حدود ۲۰۰ متر بالادرست مظہر چشمی‌علی با روند شمال شرق-جنوب غرب با ساز و کار معکوس در برون زده‌های دلیچای مشخص است. جابجایی این گسل سبب ریزش بلوک‌هایی از آهک‌های دلیچای بر روی آبرفت‌های کنار جاده شده است (شکری، ۱۳۹۰). در حوضه آبگیر چشمی‌علی دامغان هیچ‌گونه چاه بهره‌برداری یا اکتشافی حفر نشده، اما در جنوب تاقدیس چشمی‌علی در داخل آبرفت‌های کواترنری تعداد ۲۴ حلقه چاه حفاری جهت

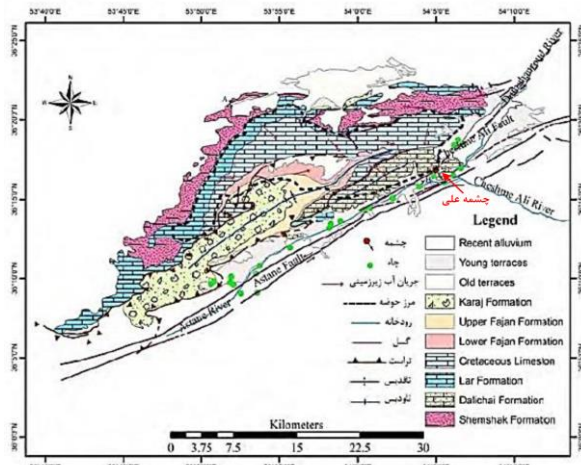
آبخوان پرداخته شده است. در این راستا، طبقه-بندی آبخوان و درجه توسعه یافتگی کارست آن بر اساس روش کمی (مانجین، ۱۹۷۵) انجام شد. مقادیر بارش ماهانه مؤثر در تغذیه آبخوان برآورد و بر اساس همبستگی متقطع ارتباط بین بارش و دبی خروجی چشمی بررسی شد و در نهایت تحلیل فراوانی دبی‌های حداقل چشمی به منظور شناخت بیشتر و درک عمیق‌تر از وضعیت آبخوان و در نتیجه بهره‌برداری بهینه از منابع آب این چشمی کارستی انجام شده است.

محدوده مورد مطالعه

حوضه آبگیر چشمی‌علی با مساحت ۱۴۸ کیلومتر مربع در ۳۲ کیلومتری شمال غربی شهر دامغان یکی از زیرحوضه‌های کویر حاج علی‌قلی و به عنوان بزرگ‌ترین چشمی کارستی در استان سمنان شناخته شده است که دامغان‌رود از آن سرچشمی می‌گیرد (شکل ۲). از نظر زمین‌شناسی، حوضه آبگیر چشمی در زون البرز شرقی واقع است و عمدتاً از آهک‌های ضخیم لایه تا توده‌ای سازند لار (حدود ۶۵ درصد) و آهک‌های نازک لایه و آهک‌های مارنی سازند دلیچای تشکیل شده است (کرمی، ۱۳۸۸) که شامل سازندهای شمشک، دلیچای، لار، آهک‌های کرتاسه، فجن، کرج و نهشته‌های کواترنری می‌باشد (شکل ۱). متوسط آبده‌ی چشمی در خروجی ایستگاه آستانه، ۵۰۰ لیتر در ثانیه (حجم رواناب سالانه ۲۷ میلیون متر مکعب) است که تأمین کننده نیاز آبی بخشی از شهر دامغان و حدود ۲۵ روستای اطراف می‌باشد. بر اساس نزدیک‌ترین ایستگاه باران سنگی (آستانه) به خروجی چشمی، حوضه آبگیر آن دارای میانگین بارش سالانه ۱۵۵ میلیمتر، میانگین سالانه دما ۱۶ درجه سانتیگراد و میانگین تبخیر سالانه ۱۹۰۰ میلیمتر می‌باشد که اقلیم

دوباره رودخانه و نفوذ آب سبب بالا بردن هدایت الکتریکی آب این چاهها شده است (شکری، ۱۳۹۰). اندازه‌گیری‌های میدانی کرمی در سال ۱۳۸۳ نشان می‌دهد که، تغییرات زمانی خواص فیزیکی و شیمیایی جریان چشمه بسیار اندک بوده به گونه‌ای که ضریب تغییرات پارامترهای کیفی، حداقل برابر با $1/39$ ٪ برای دمای آب و حداقل برابر با $1/45$ ٪ مربوط به نیترات می‌باشد.

مصارف کشاورزی حفر شده است (شکل ۲). روند کلی افزایش عمق حفاری از شرق حوضه (از محل چشمه) به غرب و نوع سفره در این چاهها آزاد می‌باشد. هدایت الکتریکی نزدیکترین چاه به چشمه (با فاصله ۷۰۰ متر) ۱۱۰۰ میکروموس بر سانتی‌متر اندازه‌گیری شده‌اند. از آنجا که رودخانه آستانه فصلی می‌باشد در فصول خشک تنهشت املاح در بستر رودخانه صورت می‌گیرد، جریان

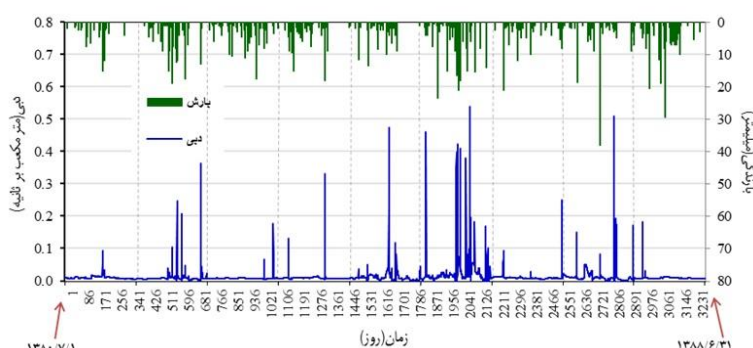


شکل ۱: نقشه زمین‌شناسی حوضه آبخوان چشمه‌علی دامغان (کرمی، ۱۳۸۳)

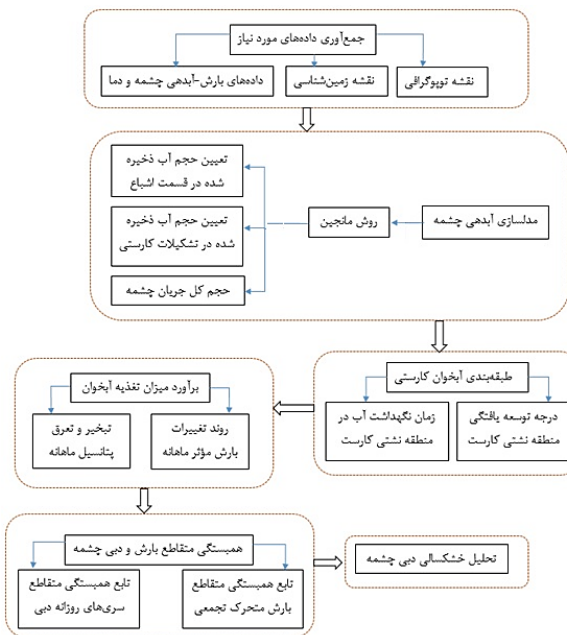
شدن. به منظور بررسی رفتار هیدرولوژیکی چشمه مورد مطالعه، از آمار ایستگاه باران‌سنجی و هیدرومتری آستانه طی سال‌های ۱۳۸۰-۸۱ و ۱۳۸۸-۸۹ که از شرکت مدیریت منابع آب ایران اخذ شدند، استفاده گردید. مراحل اجرایی پژوهش در شکل ۳ نشان داده شده است.

مواد و روش‌ها

در این پژوهش ابتدا اقدام به جمع‌آوری داده‌ها و اطلاعات لازم برای انجام پژوهش، شامل کلیه نقشه‌های بزرگ مقیاس ۱:۲۵۰۰۰۰ توپوگرافی، زمین‌شناسی و اطلاعات توصیفی آن از سازمان‌های نقشه‌برداری و زمین‌شناسی کشور، تهیه



شکل ۲: نمودار سری زمانی داده‌های روزانه بارش و دیبی چشمه مورد مطالعه



شکل ۳: بررسی ویژگی‌های هیدرولوژیکی آبخوان کارستی چشممه علی

بررسی چگونگی تأثیرپذیری دبی خروجی از میزان تغذیه را می‌طلبد.

مدل‌سازی آبدھی چشممه کارستی

مانجنین دبی فروکش چشممه کارستی در هر زمان t , Q_t را به صورت مجموع جریان پایه، q_t^b مطابق با روش مایلیت، و جریان سریع، q_t^* متأثر از تغذیه و نفوذ سطح خاک در آن زمان معرفی نمود:

ضریب ϵ که از نظر ریاضی درجه تقریب منحنی جریان سریع را نیز نشان می‌دهد، بیانگر ضریب متوسط منطقه غیر اشباع در نفوذ ضریب آب از سطح خاک به تشکیلات کارستی می‌باشد و دارای بعد عکس زمان ($\frac{1}{\epsilon}$)، می‌باشد. مقدار $\frac{1-\eta t}{1+\varepsilon t}$ ، که با تابع η ، نیز نشان داده می‌شود، دارای مقدار بین صفر و یک می‌باشد.

بر اساس آزمون من-کندال در سطح معنی‌داری ۵/۰، هیچ روند معنی‌دار مشاهده نشد. با اینکه کمترین بارش (۱/۷ میلی‌متر) در ماه مرداد رخ می‌دهد، اما کمترین دبی در این ماه مشاهده نمی‌شود. از سوبی، بیشترین بارش و کمترین دبی خروجی چشممه در ماه فروردین رخ می‌دهد که وجود چنین مسائلی بر پیچیدگی‌های هیدرولوژیکی تشکیلات کارستی آبخوان و لزوم رابطه (۱)

$$Q_t = q_t^b + q_t^* \quad (2)$$

$$q_t^b = q_0^b e^{-\alpha t} \quad (3)$$

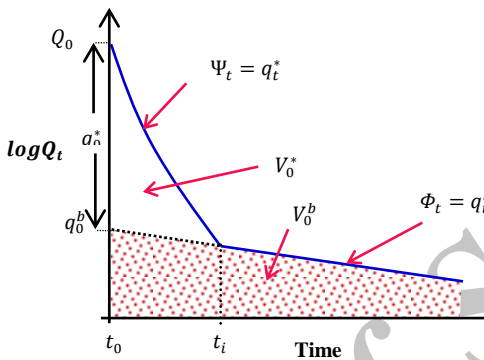
$$q_b^* = q_0^* \frac{1-\eta t}{1+\varepsilon t}$$

که در آنها q_0^b ، جریان پایه برون یابی شده در ابتدای منحنی فروکش مطابق با شکل ۴ می‌باشد. پارامتر α ، نیز ضریب فروکش جریان پایه طبق روش مایلیت است. q_0^* اختلاف بین دبی کل چشممه Q_0 ، مقدار متناظر جریان پایه، q_0^b ، در زمان شروع فروکش، $t = 0$ مطابق شکل ۳ می‌باشد. پارامتر η ، معکوس زمان شروع دبی پایه ($\frac{1}{\eta t_i}$)

$$Y_t = \frac{1 - \eta t}{1 + \varepsilon t} = \begin{cases} 1 & t = 0 \\ K & 0 < t < t_i \\ 0 & t = t_i \end{cases} \quad (4)$$

مقایسه تغییرات جریان سریع چشمه در طول سال‌های مختلف به کار برد.

که در آن $1 < K < 0$ است. اینتابع، بی بعد بوده و مستقل از جریان چشمه است و می‌توان برای



شکل ۴: نمودار تغییرات جریان سریع و پایه در منحنی فروکش آبدی چشمه کارستی (پادیلا و همکاران، ۱۹۹۴)

تشکیلات کارستی، V_t^b را در هر زمان محاسبه نمود:

با گرفتن انتگرال از توابع دبی جریان‌های سریع و پایه نسبت به زمان، می‌توان تابع حجم آب ذخیره شده در قسمت غیر اشباع خاک، V_t^* ، و همچنین رابطه (۵)

$$V_t^* = \int_{t=0}^t q_t^* dt = \int_{t=0}^t q_0^* \frac{1-\eta t}{1+\varepsilon t} dt = \frac{q_0^*}{\varepsilon} (\ln(1+\varepsilon t)(1+\eta t) - \eta t) \quad 0 < t < t_i$$

رابطه (۶)

$$V_t^b = \int_{t=0}^t q_t^b = \int_{t=0}^t q_t^b e^{-\alpha t} dt = \frac{q_0^b}{\alpha} (1 - e^{-\alpha t}) \quad t > 0$$

تابع حجم کل جریان چشمه در هر زمان، V_t^T برابر مجموع دو تابع فوق می‌باشد:

رابطه (۷)

$$V_t^T = V_t^* + V_t^b$$

برای محاسبه حجم اولیه آب ذخیره شده در ابتدای شاخه جریان سریع، V_0^* ، و همچنین حجم آب ذخیره شده در تشکیلات کارستی که در طول

رابطه (۸)

$$V_0^* = \int_{t=0}^{t_i} q_t^* dt = \int_{t=0}^{t_i} q_0^* \frac{1-\eta t}{1+\varepsilon t} dt = \left[\frac{q_0^*}{\varepsilon} \left(\ln(1+\varepsilon t) \left(1 + \frac{\eta}{\varepsilon} \right) - 1 \right) \right]$$

و ا که شرایط نفوذ آب از سطح به آبخوان می‌باشد برای طبقه‌بندی آبخوان‌های کارستی تعریف نمود. حد تابع رابطه‌ی ۶ در بینهایت مقدار حجم ذخیره دینامیکی در منطقه نشستی (تشکیلات کارست v_{dyn})، را به دست می‌دهد:

خروجی از چشمۀ را خواهد داشت. از طرفی دیگر حجم جریان انتقالی آبخوان کارستی (V_{trans}) را می‌توان با انتگرال‌گیری از دبی جریان خروجی چشمۀ (رابطه‌ی ۱) نسبت به زمان برای مدت یک سال محاسبه نمود. به عبارتی V_{trans} ، برابر حجم خروجی از چشمۀ در هر سال می‌باشد به سادگی از رابطه ۱۱ نیز قابل محاسبه است:

مقادیر V_{dyn} و V_{trans} ، برای منحنی فروکش هر سال محاسبه شده و از تقسیم این دو مقدار، پارامتر K برای سال مورد نظر به دست می‌آید:

می‌باشد به عبارتی دیگر $Y_{t=2} = Y_t = i$. حدود تغییرات پارامتر $i < 1 < 0$ می‌باشد. هر چه پارامتر i به صفر نزدیک شود، نفوذ آب از سطح زمین سریعتر، و هر چه به عدد یک نزدیک شود، سرعت تغذیه آب به درون آبخوان آهسته‌تر می‌باشد که بر اساس مقادیر مختلف پارامترهای K و i ، پنج ناحیه متمایز به وجود می‌آید: ناحیه ۱: $0.5 < K$ و $i > 0.5$: سیستم آبخوان کارستی پیچیده، توسعه

$$\text{رابطه ۹} \\ v_0^b = \int_{t=0}^{t=+\infty} q_t^b dt = \int_{t=0}^{t=+\infty} q_0^b e^{-\alpha t} dt = \frac{q_0^b}{\alpha}$$

می‌توان نتیجه گرفت که حجم اولیه آب ذخیره شده که در طول فروکش جریان توسط چشمۀ تخلیه می‌شود، $V_0^T = V_0^* + V_0^b$ ، برابر $V_0^T = V_0^* + V_0^b$ ، است.

طبقه‌بندی آبخوان‌های کارستی

مانجین (۱۹۷۵)، بر اساس دو پارامتر K ، که نشان دهنده درجه توسعه یافته‌گی منطقه نشستی کارست

$$\text{رابطه ۱۰} \\ v_{dyn} = \lim_{t \rightarrow +\infty} v_t^b = \frac{q_0^b}{\alpha} (1 - e^{-\alpha t}) = \lim_{t \rightarrow +\infty} C \frac{q_0^b}{\alpha}$$

که در آن v_{dyn} ، حجم ذخیره در ابتدای جریان پایه بر حسب متر مکعب، ضریب C ، ضریب تبدیل و برابر 86400 ، q_0^b ، دبی در ابتدای منحنی جریان پایه بر حسب متر مکعب بر ثانیه و α ، ضریب جریان پایه بر حسب $(day)^{-1}$ می‌باشد. هر چه ذخیره نشستی (v_{dyn})، بیشتر باشد، منطقه نشستی آبخوان کارستی نقش بیشتری در تنظیم دبی

رابطه ۱۱

$$V_{trans} = Q \times t_{rec} \times 86400$$

که در آن Q ، متوسط دبی خروجی از چشمۀ طی دوره فروکش و t_{rec} ، مدت زمان دوره فرکش بر حسب روز است. برای محاسبه پارامتر K آبخوان،

رابطه ۱۲

$$K = \frac{V_{dyn}}{V_{trans}}$$

پارامتر K هم‌چنین به عنوان معیاری نشان دهنده زمان نگهداشت آب در منطقه نشستی است. در بیشتر آبخوان‌های کارستی $K < 0.5$ می‌باشد. هر چه مقدار K بیشتر و به 0.5 نزدیک‌تر باشد، قدرت تنظیمی منطقه نشستی آبخوان کارست در مقایسه با ناحیه غیر اشباع در جریان خروجی چشمۀ قوی تر است. پارامتر i آبخوان، مقدار تابع بدون بعد (Y_t) در رابطه ۴ به ازای $t = 2$ day

درز و شکاف فراوان به صورت جزء یا تماماً در زیر رسوبات با نفوذپذیری کم محصور شده است و توسعه کارست آن عمدتاً مربوط به دوران کارستی زایی قبلی می‌باشد و ممکن است شبکه‌های مجرایی پالئو در منطقه اشیاع آبخوان فعالیت داشته باشد به این نوع آبخوان‌ها، سیستم‌های غیرفعال از نظر کارستی شدن نیز می‌گویند و دارای یک ساختار زهکشی پیچیده با زمان تاخیر بسیار طولانی است. برای بررسی بیشتر زمان پاسخ آبخوان به میزان تغذیه، آنالیز همبستگی متقطع CCT) بین داده‌های دبی چشم‌علی و بارندگی انجام شد.تابع همبستگی متقطع (r_{qr}) توسط رابطه ۱۳ محاسبه می‌شود:

برای بررسی توزیع و مقدار میزان تغذیه آبخوان، سری زمانی مقادیر بارش مؤثر ماهانه (Δ_t) به عنوان تنها عامل تغذیه آبخوان چشم‌علی محاسبه شد:

بهترین توزیع برآشی به داده‌های دبی از بارش توزیع‌های احتمالاتی استفاده شد که این توزیع دارای تابع چگالی تجمعی احتمال (CDF) به شکل رابطه ۱۵ می‌باشد:

یافتنگی بالا و مخازن مختلفی است. ناحیه ۲: $0.5 < K < 0.25$ در آبخوان کارستی سیستم مجرایی در بخش بالایی (منطقه نفوذ)، نسبت به بخش‌های نزدیک به خروجی چشم‌علی توسعه یافته‌تر است. ناحیه ۳: $0.1 < K < 0.05$ آبخوان دارای سیستم توسعه یافته کارست هم در بخش نفوذی است و هم در بخش نشستی. به عبارت دیگر در تمام بخش آبخوان کارست، سیستم مجرایی وجود دارد. ناحیه ۴: $0.05 < K < 0.1$ و $0.25 < i < 0.1$: سیستم آبخوان دارای منطقه نفوذی با درجه کارستی بالا و یک شبکه مجرایی گسترده است، که به ناحیه نشستی منتهی می‌شود. ناحیه ۵: $K > 0.5$: سیستم آبخوان کارستی منطقه نشستی دارای عمق زیاد و

رابطه (۱۳)

$$r_{qp} = \frac{C_{qp}(k)}{\sigma_q \cdot \sigma_p}$$

که $C_{qp}(k)$ کوواریانس بین سری زمانی دبی (q_i) و سری زمانی بارش (p_i) به ازای تأخیر k سری بارش است. مقادیر σ_q و σ_p به ترتیب انحراف استاندارد سری‌های زمانی دبی و بارش می‌باشند.

رابطه (۱۴)

$$\Delta_t = (P_t - E_p) - (P_m - E_p) + \Delta_{t-1}$$

که P_t بارش ماه t ، P_m بارش متوسط ماهانه و E_p نیز تبخیر-تعرق پتانسیل ماهانه می‌باشد. در رابطه ۱۴ زمانی که $P - E = 0$ باشد، مقدار Δ_t می‌تواند مثبت (تغذیه منظور می‌شود. متغیر Δ_t می‌تواند مثبت (تغذیه آبخوان)، صفر و یا منفی (بدون تغذیه) باشد. برای

رابطه (۱۵)

$$F(z) = \begin{cases} e^{-(1+k\frac{x-\mu}{\sigma})^{-\frac{1}{k}}} & k \neq 0 \\ e^{-e^{\frac{x-\mu}{\sigma}}} & k = 0 \end{cases}$$

قلمرو توزیع بالا به صورت رابطه ۱۶ تعریف می-
شود:

که k پارامتر شکل توزیع و متغیر استاندارد z از $\frac{x-\mu}{\sigma} = z$ قابل محاسبه است (۵) انحراف استاندارد جامعه X و μ میانگین جامعه X است و $(x \in X)$.

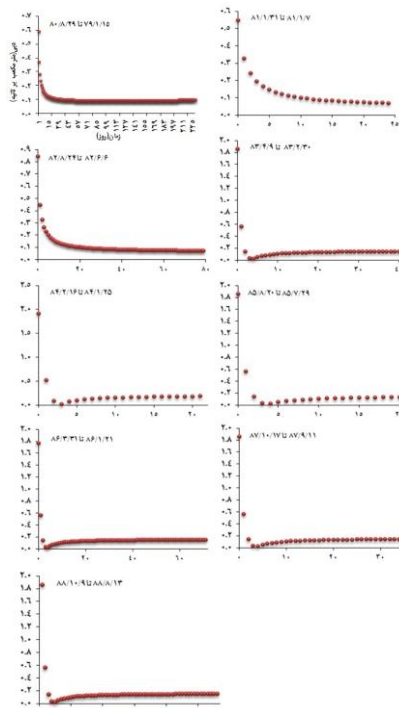
رابطه (۱۶)

$$\begin{cases} 1 + kz > 0 & k \neq 0 \\ -\infty < x < +\infty & k = 0 \end{cases}$$

نسبت به بخش غیر اشباع آبخوان در جریان خروجی چشم می‌باشد. همچنین مقادیر به دست آمده برای پارامتر a که همگی کمتر از $0/5$ می-باشند، بیانگر نفوذ سریع آب از سطح زمین به درون آبخوان است. بر اساس مقادیر به دست آمده برای دو پارامتر K و a بر روی شکل ۶ طی تقسیم‌بندی مانجین، آبخوان کارستی چشم می‌باشد. دامغان در ناحیه دوم قرار می‌گیرد که نشان می-دهد سیستم مجرایی در بخش بالایی (منطقه نفوذ)، نسبت به بخش‌های نزدیک به خروجی چشم می‌دارای درجه توسعه یافته‌گی بالاتری است که این موضوع با تخلیه کوتاه‌مدت جریان سریع و همچنین نفوذ سریع آب از سطح زمین به درون آبخوان نیز توجیه‌پذیر است. علاوه بر این، تغییرات مقادیر حجم ذخیره در ابتدای جریان پایه (V_{dyn}) و ذخیره نشستی (V_{dyn}) در طی نه سال نشان می-دهد که حدود ۷۵٪ از کل حجم آب ذخیره شده سالانه آبخوان (معادل $5/6$ میلیون متر مکعب)، مربوط به بخش اشباع (جریان پایه) و بقیه (معادل $1/9$ میلیون متر مکعب) مربوط به ذخیره نشستی است (جدول ۱). بیشترین حجم آب ذخیره شده در آبخوان مربوط به سال ۱۳۸۴-۸۵ برابر با $14/7$ میلیون متر مکعب برآورد شده است.

نتایج

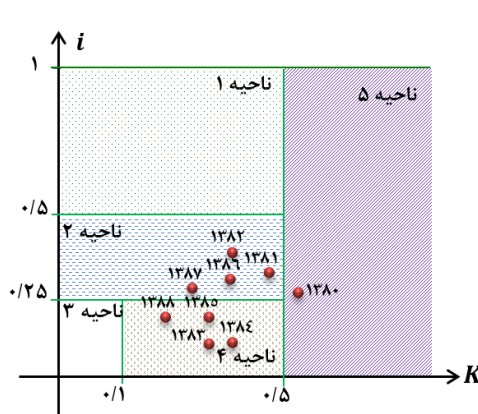
شکل کلی منحنی‌های فروکش سالانه دبی روزانه چشم می‌باشد (شکل ۵) از سال ۱۳۸۰ تا ۱۳۸۲ و همچنین مقادیر دبی در ابتدای فروکش (q_0^b) شبیه به یکدیگر می‌باشند اما از سال ۱۳۸۳ به بعد شکل منحنی‌های فروکش اندکی با دوره قبل متفاوت است به طوری که در پایان جریان سریع مقدار دبی خروجی چشم می‌باشد صفر نزدیک شده سپس با مشارکت جریان پایه با اندکی تأخیر، مقدار دبی افزایش نشان می‌دهد. مدت زمان مشارکت جریان سریع (t_s) در دبی خروجی چشم می‌باشد دوره‌های ۱۳۸۰-۸۲ نسبت به دوره‌های بعدی بیشتر است. این موضوع حاکی از تأخیر در مشارکت جریان پایه در دوره جدید نسبت به دوره قبل از آن است. برای هر منحنی فروکش، پارامترهای مورد نیاز برای محاسبه K و a به طور جداگانه استخراج و به همراه محاسبه این دو پارامتر در جدول ۱ ارائه شده‌اند. حدود تغییرات پارامترهای K و a برای سال‌های مختلف به ترتیب $0/56 < K < 0/22$ و $0/24 < a < 0/49$ به دست آمده است. در بیشتر سال‌های مورد مطالعه، پارامتر K به دست آمده دارای مقادیری نزدیک به حد بالای آن ($0/5$) است که نشان دهنده قدرت کنترلی بیشتر بخش نشستی (اشباع)



شکل ۵: منحنی فروکش جریان چشمه طی سال‌های مختلف

جدول ۱: نمایش مقادیر متوسط پارامترهای به دست آمده در طول دوره آماری

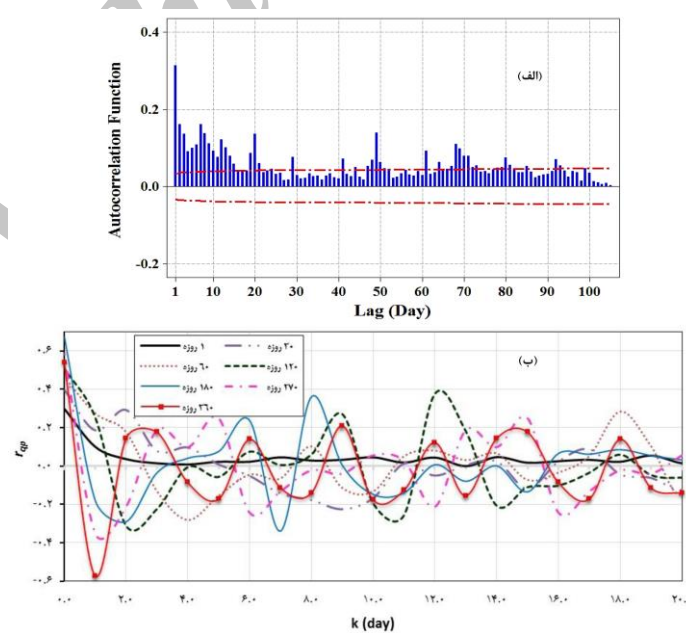
t_i (day)	η (day) $^{-1}$	ε (day)	i (-)	v_{trans} (m 3)	v_{dyn} (m 3)	q_0^b (m 3 /s)	α (day) $^{-1}$	k (-)	سال
۱۴	-۰/۲۱	-۰/۷۰	-۰/۳۶	۳۰/۹۰۵	۱۷/۲۸	-۰/۰۸۰	-۰/۰۰۴	-۰/۵۶	۱۳۸۰
۸	-۰/۱۲۵	-۰/۳۴	-۰/۴۰	۴۹/۵۱۱	۲۲/۸۰۹	-۰/۱۳۲	-۰/۰۰۵	-۰/۴۶	۱۳۸۱
۱۲	-۰/۰۸۳	-۰/۳۵	-۰/۴۹	۴۶/۰۴۲	۱۸/۱۴۴	-۰/۱۲۵	-۰/۰۰۶	-۰/۳۹	۱۳۸۲
۴	-۰/۲۵	-۰/۶۵	-۰/۲۲	۵۰/۱۴۲	۱۵/۱۸۱	-۰/۱۲۳	-۰/۰۰۷	-۰/۳۰	۱۳۸۳
۳	-۰/۳۳	-۰/۲۷	-۰/۲۲	۱۰/۷/۸۵۳	۳۸/۸۸	-۰/۰۹۰	-۰/۰۰۲	-۰/۳۶	۱۳۸۴
۳	-۰/۳۳	-۰/۱۵	-۰/۲۶	۱۱۱/۶۶۷	۳۱/۶۸	-۰/۱۱۰	-۰/۰۰۳	-۰/۲۸	۱۳۸۵
۴	-۰/۲۵	-۰/۱۲	-۰/۴۰	۲۵/۰۴۴	۱۰/۰۸	-۰/۰۷۰	-۰/۰۰۶	-۰/۳۹	۱۳۸۶
۴	-۰/۲۵	-۰/۲۱	-۰/۳۵	۳۶/۵۸۱	۱۱/۱۰۸	-۰/۰۹۰	-۰/۰۰۷	-۰/۳۰	۱۳۸۷
۴	-۰/۲۵	-۰/۴۱	-۰/۲۷	۴۱/۳۱۲	۹/۸۷۴	-۰/۰۸۰	-۰/۰۰۷	-۰/۲۴	۱۳۸۸



شکل ۶: طبقه‌بندی سیستم آبخوان‌های کارستی بر اساس روش Mangin

است. بیشترین همبستگی بین سری بارش متحرک تجمعی 180° روزه به ازای $k = 0$ برابر با $0/67$ محاسبه شده است. نکته قابل توجه اینکه در تمام سری‌های متحرک تجمعی بارش، بیشترین همبستگی بین این مقادیر و داده‌های دبی در تأخیر صفر رخ می‌دهد و بر اساس آزمون آماری t در سطح $\alpha = 0/05$ تمام مقادیر همبستگی‌های متقاطع بین سری تجمعی بارش و دبی یک روزه تا 270° روزه در تأخیر صفر معنی‌دار هستند (جدول ۲) اما از سری متحرک تجمعی 300° روزه به بعد این همبستگی معنی‌دار نیست. این موضوع نشان دهنده این است که بارش‌های همان روز تا 300° روز قبل بر جریان خروجی چشمکه علی در روز متناظر تأثیر قابل توجهی دارند به عبارتی حداقل و حداقل زمان انتقال آب بارش در تشکیلات آبخوان حدوداً بین یک تا 300° روز به طول می‌انجامد.

همبستگی متقاطع بین بارش و دبی چشمکه
تابع خود همبستگی دبی روزانه چشمکه در شکل ۷ الف ارائه شده است که همبستگی معنی‌دار حداقل تا 20° روز را نشان می‌دهد. بیشترین همبستگی به مقدار $0/31$ به ازای تأخیر زمانی یک روزه مشاهده می‌شود. تابع همبستگی متقاطع برای سری‌های مختلف $1, 30, 60, 120, 270^{\circ}$ روزه بارش متحرک تجمعی و سری روزانه دبی به ازای 20° تأخیر، طی دوره آماری بین سال‌های (۱۳۸۰-۸۹) بر اساس رابطه 13 محاسبه و نتایج به دست آمده در شکل ۷ ب نشان داده شده است. برای بارش و دبی روزانه (نمودار ۱ روزه در شکل ۷ ب) بیشترین همبستگی به ازای 0 برابر با $0/30$ محاسبه گردید که نسبت به سایر سری‌های متحرک تجمعی کمترین مقدار را دارد. برای سری‌های بارش متحرک تجمعی بالاتر، مقدار همبستگی افزایش می‌یابد که بیانگر ویژگی کنترل کنندگی دبی خروجی از چشمکه توسط بارش تجمعی در طی زمان‌های مختلف



شکل ۷: (الف) تابع خود همبستگی دبی روزانه چشمکه علی؛ (ب) همبستگی متقاطع بین بارش متحرک تجمعی و دبی روزانه طی دوره آماری بین سال‌های (۱۳۸۰-۸۹)

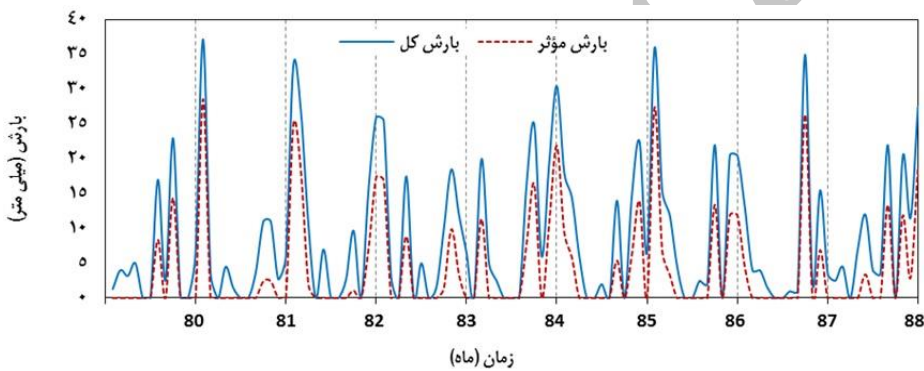
جدول ۲: نتایج آزمون t برای بررسی معنی‌داری همبستگی بین بارش تجمعی و دبی در تأخیر صفر

P-value	مقدار	آزمون t	مقدار همبستگی	سری متغیر
. ^a /... . ^a	۱/۹۶	۱۷/۸۹	.۰/۳۰	۱
. ^a /... . ^a	۱/۹۹	۴/۶۷	.۰/۴۱	۳۰
. ^a /... . ^a	۲/۰۱	۳/۷۷	.۰/۴۶	۶۰
. ^a /... . ^a	۲/۰۶	۳/۰۲	.۰/۵۱	۱۲۰
. ^a /... . ^a	۲/۱۱	۳/۷۲	.۰/۶۷	۱۸۰
. ^a /... . ^a	۲/۲۳	۲/۳۱	.۰/۵۹	۲۷۰
. ^a /... . ^b	۲/۲۶	۱/۵۵	.۰/۴۶	۳۰۰
. ^a /... . ^b	۲/۳۰	۱/۸۱	.۰/۵۴	۳۶۰

^a معنی دار در سطح اعتماد ۹۵٪ ^b عدم معنی داری در سطح اعتماد ۹۵٪ ($\alpha=0.05$)

۱۴ محاسبه همراه با تغییرات بارش کل در شکل نشان داده شده است.

برآورده میزان تغذیه (بارش مؤثر) به آبخوان روند تغییرات بارش مؤثر ماهانه آبخوان چشمۀ علی در طول دوره آماری ۷۹-۸۸ بر اساس رابطه



شکل ۸: سری زمانی تغییرات بارش مؤثر ماهانه آبخوان و بارش کل

تداوم جریان (شو، ۱۹۵۴) می‌باشدند. به دلیل عدم ذخیره‌سازی آب چشمۀ علی در مخزن، به نظر می‌رسد استفاده از روش سری جریان‌های حداقل مناسب‌تر باشد (خزایی و همکاران، ۱۳۸۲). تحلیل فراوانی مقادیر حداقل دبی چشمۀ با تداوم‌های مختلف می‌تواند به منظور بررسی تأثیر تغییر اقلیم بر رفتار هیدرولوژیکی آبخوان در دراز مدت و هم‌چنین مدیریت کمی و کیفی بهینه بهره‌برداری از منابع آب چشمۀ مورد استفاده قرار گیرد. مطالعات قبلی نشان می‌دهد که توزیع حدی گامبل نوع سوم و توزیع لوگ نرمال بیشترین کاربرد را در مطالعات تحلیل فراوانی خشکسالی در هیدرولوژی آب‌های سطحی دارند (اسماختین، ۱۳۰۱). خزایی

سری زمانی بارش مؤثر محاسبه شده بر اساس آزمون من-کندال در سطح معنی‌داری ۰/۰۵ (z=۱/۰۸, P-value=۰/۱۴), روند معنی‌دار صعودی (z=۱/۰۸, P-value=۰/۱۰۸) یا نزولی (z=۱/۰۸, P-value=۰/۸۶) را نشان نداد.

تحلیل فراوانی خشکسالی دبی چشمۀ به منظور تحلیل خشکسالی هیدرولوژیکی، استفاده از شاخص‌های خشکسالی برای ارائه نمودن تصویر روشنی از نمودهای ذخایر آبی، کلارآیی بالایی در مسائل مدیریتی دارند (هاینز، ۱۹۹۹). شاخص‌های متدائل در تحلیل خشکسالی هیدرولوژیکی شامل شاخص‌های سری جریان حداقل، تحلیل دنباله‌ها یا کمبودها (یوجویچ، ۱۹۶۷) و شاخص‌های مستخرج شده از منحنی

توزیع لوگ پیرسون تیپ سوم را به عنوان بهترین توزیع برازشی به جریان‌های حداقل منطقه معرفی نمودند. Fiorillo و همکاران در سال ۲۰۰۷، آنالیز فراوانی داده‌های دبی‌های حداقل روزانه چشمۀ Serino واقع در جنوب اسپانیا را انجام و نتیجه گرفتند که توزیع گامبل نوع سوم، برازش بهتری نسبت به سایر توزیع‌های آماری دارد.

و همکاران (۱۳۸۲) در تحلیل خشکسالی رودخانه قره‌سو واقع در استان کرمانشاه برای سری جریان‌های حداقل ۱، ۷، ۱۵ و ۳۰ روزه توزیع لوگ پیرسون تیپ سه را انتخاب کردند اسلامیان و همکاران (۱۳۷۹)، با انجام تحلیل فراوانی بر روی جریان‌های حداقل با تداوم‌های ۷، ۱۵، ۳۰ و ۶۰ روزه تعدادی از ایستگاه‌های حوضه آبریز مازندران،

جدول ۳: مشخصات آماری داده‌های دبی سه، هفت و ده روزه چشمۀ علی

آماره	ضریب چولگی	ضریب تغییرات	واریانس	ماگریم	مینیمم	میانه	میانگین	تعداد	آماره
دبي سه روزه	۴/۶۴	۰/۸۶۳	۰/۹۰۴۲	۰/۱۱۸۰	۰/۲	۰/۹۰	۲/۱۱۰	۴/۹۳۹	دبي هفت روزه
دبي ۵ ده روزه	۴/۶۹	۰/۶۲۵	۰/۳۴۵۰	۰/۵۷۴	۰/۲	۰/۸۷	۱/۸۷	۳۲۸	دبي ۵ ده روزه
دبي ۱۰ ده روزه	۱۰/۹۵	۰/۸۶۳	۰/۹۰۴۲	۰/۱۱۸۰	۰/۲	۰/۹۰	۲/۱۱۰	۴/۹۳۹	دبي ۱۰ ده روزه

هیدرولوژی در سطح اطمینان ۹۵٪ به این داده‌ها گردید. خلاصه آماره‌های توصیفی داده‌های سه نوع دبی حداقل ۳، ۷ و ده روزه در جدول ۳ می‌باشد. داده‌های دبی حداقل ده روزه نسبت به دو نوع دیگر از تغییرات و پراکندگی کمتری برخوردارند. عدم وجود روند بر اساس آزمون من-کن达尔 در داده‌های سه نوع جریان حداقل، نشان-دهنده عدم وجود تغییرات سیستماتیک و در نتیجه همگنی و تصادفی بودن داده‌ها را نشان می‌دهد. نتایج برازش توزیع‌های احتمالاتی نشان داد که بر اساس آزمون نکوبی برازش کلموگروف-اسمرینوف (K-S)، توزیع مقادیر حدی کلی (GEV) به عنوان بهترین توزیع برازشی به هر سه نوع داده‌های دبی شناخته شد. نتایج در جدول ۴ نشان داده شده است.

فرهنگ بین‌المللی هیدرولوژی جریان کم را به عنوان جریان آب رودخانه در طول آب و هوای خشک طولانی مدت تعریف می‌کند (پاریدا و همکاران، ۱۹۹۸). علت محاسبه جریان کم برای روزهای پیاپی به حداقل رساندن اثر تغییرات و نوسانات جریان است (اسدی و همکاران، ۱۳۸۸). برای تحلیل خشکسالی منابع آب سطحی تأمین کننده نیازهای کشاورزی و شرب، استفاده از شاخص سری جریان حداقل روزانه، ۳ روزه، ۷ روزه، ۱۵ و ۳۰ روزه اهمیت فراوانی دارند (ساندوال، ۲۰۰۹). لذا در این پژوهش به منظور تحلیل خشکسالی هیدرولوژیکی چشمۀ علی ابتدا سری زمانی داده‌های حداقل جریان با تداوم‌های ۳، ۷ و ده روزه محاسبه گردید و سپس اقدام به برازش توزیع‌های آماری مرسوم در داده‌های حدی

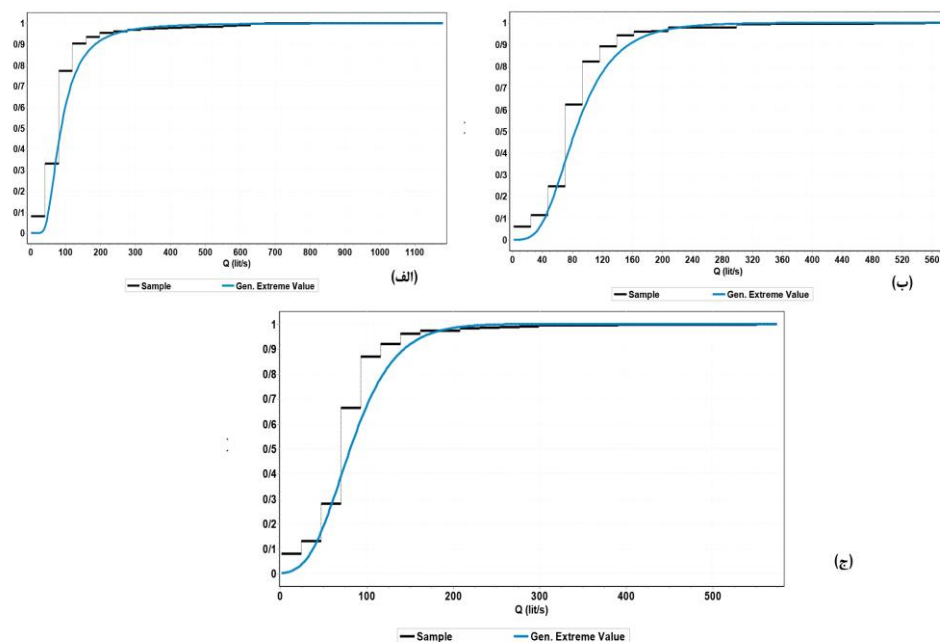
جدول ۴: نتایج آزمون‌های نکویی K-S برای توزیع برازشی گامبل نوع سوم به داده‌های دبی حداقل ۳، ۷ و ۱۰ روزه

آزمون K-S	P-Value	مقدار	آماره	تابع چگالی تجمعی توزیع	نوع دبی	توزیع برازش	یافته
0.156	0	0.041		$F(x) = e^{-(1+0.341 \times \frac{x-74.74}{32.81})^{-\frac{1}{0.341}}}$	۳ روزه	توزيع حدی کلی	
0.153	4.14E-10	0.062		$F(x) = e^{-(1+0.079 \times \frac{x-71.10}{34.52})^{-\frac{1}{0.079}}}$	۷ روزه	(GEV)	
0.157	1.34E-7	0.075		$F(x) = e^{-(1-0.050 \times \frac{x-68.39}{35.35})^{\frac{1}{0.050}}}$	۱۰ روزه		

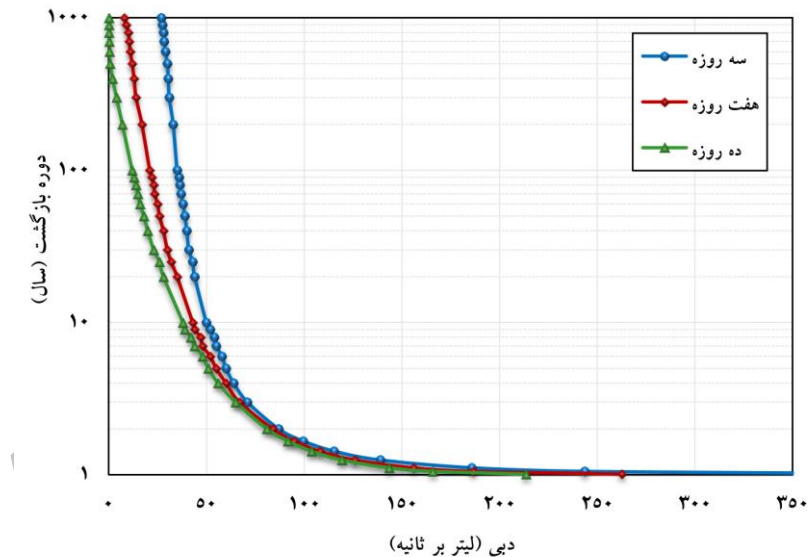
* در هر سه مورد، مقدار بحرانی از مقدار حداکثر آماره کوچکتر است ($D < D_{max}$), لذا فرض صفر مبنی بر عدم وجود اختلاف بین داده‌های تئوری (توزیع) و تجربی، در سطح اعتماد ۹۵٪ پذیرفته می‌شود (آزمون در سطح معنی‌داری $\alpha = 0.05$ انجام شده است).

۹۹٪ موقوع می‌توان انتظار داشت برای سری‌های حداقل با توالی ۳، ۷ و ۱۰ روزه به ترتیب برابر و کمتر از ۳۵۰، ۲۶۲ و ۲۱۳ لیتر بر ثانیه برآورد می‌شود که این مقادیر در مباحث تأمین نیازهای آبی شرب، کشاورزی و مدیریت کیفی و حقابه زیست محیطی رودخانه پائین دست چشمه دارای اهمیت فراوان است. دبی که به طور متوسط در ۵۰٪ روزه‌های سال می‌توان از چشمه انتظار داشت برای هر سه نوع دبی حدود ۸۴ لیتر بر ثانیه برآورد می‌شود. براساس نمودار شکل ۱۰ برای دوره‌های بازگشت کمتر از ۵ سال که دارای احتمال وقوع بالای نیز هستند تفاوت چندانی بین دبی‌های پیش‌بینی شده ۳، ۷ و ۱۰ روزه مشاهده نمی‌شود. به عبارتی دیگر، تداوم خشکسالی ۱۰ روزه با یک روزه از نظر مقدار تفاوت چندانی ندارند. بنابراین تأثیر گزینه‌های مدیریتی در تأمین نیازهای آبی شرب، کشاورزی، زیست محیطی و منابع طبیعی نسبت به تداوم خشکسالی در منطقه در بروز شدت خشکسالی دارای اهمیت می‌باشد.

شکل توزیع چگالی تجمعی برازش یافته به سه نوع دبی به همراه مقادیر متناظر مشاهداتی در شکل ۹ نشان داده شده است. برای هر سه نوع دبی، توزیع برازشی GEV برای مقادیر دبی بیشتر از میانگین کارآیی بالایی نسبت به مقادیر کمتر از میانگین نشان می‌دهد و با دوره بازگشت‌های ۲ تا ۱۰۰۰ ساله بر اساس توزیع برشی در سطح اطمینان ۹۵٪ پیش‌بینی و نمودار آنها در شکل ۱۰ رسم شده است. مقادیر دبی با توالی ۳، ۷ و ۱۰ روزه با دوره بازگشت ۱۰۰ ساله (احتمال وقوع ۱٪) به ترتیب برابر با ۳۵، ۲۱ و ۱۲ لیتر بر ثانیه برآورد شده است. مقادیر دبی با توالی ۳، ۷ و ۱۰ روزه با دوره بازگشت ۱۰۰ ساله (احتمال وقوع ۱٪) به ترتیب برابر با ۳۵، ۲۱ و ۱۲ لیتر بر ثانیه برآورد شده است که با در نظر گرفتن میانگین مشاهداتی جریان حداقل ۳، ۷ و ۱۰ روزه به ترتیب برابر با ۱۱۰، ۹۴ و ۸۷ لیتر بر ثانیه می‌توان گفت که دبی‌های پیش‌بینی شده به ترتیب ۳٪، ۲٪ و ۱٪ میانگین مشاهداتی متناظر هستند. دبی میانگین حداقل جریان روزانه چشمه برابر با ۱۳۹ لیتر بر ثانیه به ترتیب با احتمال متوسط ۸۵٪ از روی سری‌های حداقل ۳، ۷ و ۱۰ روزه قابل پیش‌بینی است. آبدهی متوسط روزانه چشمه که در



شکل ۹: تابع چگالی تجمعی برآش یافته به همراه مقادیر مشاهداتی به داده‌های دبی (الف) سه، ب) هفت و ج) ده روزه.



شکل ۱۰: مقادیر دبی‌های حداقل ۳، ۷ و ده روزه چشممهعلی به ازای دوره بازگشت‌های مختلف بر اساس تابع احتمالاتی برآشی

نتیجه‌گیری

نفوذ یا نشتی)، نسبت به بخش‌های نزدیک به خروجی چشممه (بخش اشباع) دارای درجه توسعه یافتگی بالاتری است که این موضوع با تخلیه کوتاه‌مدت جریان سریع و هم‌چنین نفوذ سریع آب از سطح زمین به درون آبخوان نیز هم‌خوانی دارد.

نتایج به دست آمده از این تحقیق نشان داد که می‌توان آبخوان کارستی چشممه‌علی دامغان را در ناحیه دوم طبقه‌بندی مانجین (۱۹۷۵) در نظر گرفت که نشان‌دهنده این واقعیت است که سیستم مجرایی در بخش بالایی آبخوان (منطقه

تشکیلات کارستی (بخش اشباع) است و در نهایت تحلیل فراوانی دبی‌های حداقل سه، هفت و ده روزه چشمه نشان داد که برای دوره‌های بازگشت کمتر از ۵ سال که دارای احتمال وقوع بالایی نیز هستند تفاوت چندانی بین دبی‌های پیش‌بینی شده این سه نوع تداوم مشاهده نمی‌شود از این رو اعمال مدیریت بهینه بهره‌برداری و تخصیص منابع آب چشمه‌علی متناسب با تداوم و شدت خشکسالی از اهمیت فراوانی برخوردار است.

با وجود عدم تغذیه در مردادماه، شاهد آبدهی قابل توجه چشمه در این ماه هستیم. که این مسئله با نتایج آنالیز همبستگی متقطع بین بارش تجمعی و دبی خروجی چشمه نیز هم‌خوانی دارد زیرا که حداقل و حداقل‌تر زمان انتقال آب بارش به عنوان تنها منبع تغذیه کننده آبخوان از سطح زمین تا زمانی که در دبی خروجی مشارکت نماید، حدوداً بین یک تا ۳۰۰ روز به طول می‌انجامد که نشان دهنده سرعت بالای تخلیه جریان سریع (جریان بخش غیراشباع) و حجم بالای ذخیره در

1-Serino

- شفیعی مطلق، خ. و لشکری پور، غ.ر.، ۱۳۸۷. هیدرولوژی چشمه کارستی کورسا دهدشت، چهارمین همایش زمین‌شناسی و محیط زیست، اسلامشهر، دانشگاه آزاد اسلامی واحد اسلامشهر.
- شکری، م.، اشجاری، ج. و کرمی، غ.ح.، ۱۳۹۰. تاثیر تکتونیک و چینه‌شناسی در جهت یابی جریان آب زیرزمینی در حوضه آبگیر چشمه علی دامغان، پانزدهمین همایش انجمن زمین‌شناسی ایران.
- شهبازی، ر. و فیض نیا، س.، ۱۳۹۰. تاثیر سازندهای زمین‌شناسی بر کاهش کیفیت آب‌های سطحی و زیرزمینی در حوزه آبخیز کویر مرکزی ایران (مطالعه موردی: حوزه آبخیز چشمه علی دامغان)، پژوهش‌های فرسایش محیطی، شماره ۱، ص ۲۲-۳۵.
- کرمی، غ.ح.، ۱۳۸۳. بررسی هیدرولوژیکی و هیدرولوژیمیایی چشمه کارستی چشمه علی دامغان، طرح پژوهشی با کد ۲۱۰۷، دانشکده علوم زمین، دانشگاه صنعتی شاهرود، ۴۷ ص.
- کرمی، غ.ح.، ۱۳۸۸. نقش چینه‌شناسی در توسعه کارست در حوضه آبگیر چشمه علی دامغان، مجله پژوهش‌های چینه‌نگاری و رسوب‌شناسی، دوره ۲۵، شماره ۱، بهار ۱۳۸۸، ص ۳۹-۵۲.

2-Cross Correlation

پانوشت

منابع

- اسدی، ا.، میرعباسی نجف آبادی، ر.، ملک پور، ا. فاخری فرد، ا. و دین پژوه، ی.، ۱۳۸۸. پایش خشکسالی هیدرولوژیکی با استفاده از تئوری ران (مطالعه موردی حوضه آجی چای آذربایجان شرقی)، دومین همایش ملی اثرات خشکسالی و راهکارهای مدیریت آن، مرکز تحقیقات کشاورزی و منابع طبیعی اصفهان.
- اسلامی، س.س.، زارعی، ع. و ابریشمچی، ا.، ۱۳۷۹. پیش‌بینی خشکسالی هیدرولوژیک، اولین کنفرانس ملی بررسی راهکارهای مقابله با کم آبی و خشکسالی، دانشگاه باهنر کرمان.
- افراسیابیان، ا.، ۱۳۷۲. مطالعات و تحقیقات منابع آب کارست در ایران، مجموعه مقالات دومین همایش جهانی منابع آب در سازندهای کارستی، کرمانشاه-تهران، ص ۱۲۶-۱۳۷.
- پایگاه ملی داده‌های علوم زمین، ۱۳۹۵. www.ngdir.ir
- خزایی، م.، تلوری، ع. و جباری، ا.، ۱۳۸۲. تحلیل توزیع فراوانی خشکسالی هیدرولوژیک مطالعه موردی حوضه رودخانه قرسو، مجله جغرافیا و توسعه، جلد اول، شماره ۲، ص ۴۵-۵۶.

انتشارات ارم شیراز، ۳۹۹ ص.

-کریمی وردنجانی، ح. ۱۳۸۹. هیدروژئولوژی کارست،

- Atkinson, T.C., 1977. Diffuse flow and conduit flow, *Journal of Hydrology*, v. 35, p. 93 -110.
- Bonacci, O., 1987. Karst hydrogeology and water resource- past, present and future, IAHS publ, v. 164, p. 205-213.
- Bonacci, O., 1993. Karst spring hydrographs as indicators of karst aquifers, *Hydrogeological sciences-journal, des science hydrologiques*, v. 38 (1), p. 51-62.
- Bonacci, O. and Jukić, I., 2015." Karst spring catchment: an example from Dinaric karst", *Environ Earth Sci Journal*, Doi: DOI 10.1007/s12665-015-4644-8. 74:6211–6223.
- Bonacci, O.Z., eljkovic, I. and Galic, A., 2013. Karst rivers' particularity: an example from Dinaric karst (Croatia/Bosnia and Herzegovina), *Environ Earth Sci*, v. 70(2), p. 963-974.
- Chow, V.T., 1954. The log probability law and its engineering applications, v. 80(536), p. 1-25, *Proceedings of the ASCE*, USA.
- Cotton, F.A. and Edwards, W.T., 1968. The crystal and molecular structure of nitropentamminocobalt (III) bromide, Department of Chemistry, Massachusetts Institute of Technology Cambridge, Massachusetts 02139, U.S.A., v.24(4), p. 474-477.
- Ford, D. and Williams, P., 2007. Karst Hydrogeology and Geomorphology, Second edition, p. 553.
- Fiorillo, F., Espesito, L. and Guadagno, F.M., 2007. Analysis and forecast of water resources in an ultra-centenarian spring discharge series from Serino (southern Italy), *Journal of Hydrology*, v. 336, p. 125-138.
- Gumbel, E.J., 1958. Statistics of Extremes, Columbia University Press, New York, USA, 375 p.
- Hayes, S.C., Strosahl, K. and Wilson, K.G., 1999. Acceptance and Commitment Therapy: An experiential approach to behavior change, New York: Guilford Press, 470 p.
- Kuhta, M., Brkić, Ž. and Stroj, A., 2012. "Hydrodynamic characteristics of Mt. Biokovo foothill springs in Croatia", *Geologia Croatica*, v. 65 (1), p. 41-52.
- Kresic, N. and O., 2010. "Spring discharge hydrograph, In Groundwater Hydrology of Springs: Engineering, Theory, Management, and Sustainability", Elsevier ch 4, p. 129-163.
- Mangin, A., 1975. Contribution a l'étude hydrodynamique des aquifères karstiques, *Annales de Speleologie*, v. 26, p. 283-339.
- Maillet, E., 1905. *Essais d'Hydraulique Souterraine et Fluviale*, Paperback: 280 pages, Publisher: Kessinger Publishing, LLC (February 6, 2009), Language: French.
- Milanovic, P., 1981. Karst Hydrogeology, Water Resources Pubns, 434 p.
- Padilla, A., Pulido-Bosch, A. and Mangin, A., 1994. Relative importance of base-flow and quick-flow from hydrographs of karst spring, *Ground water*, v. 32(2), p. 267-277.
- Parida, B.P., Kachroo, R.K. and Shrestha, D.B., 1998. Regional flood frequency analysis of Mahi-Sabarmati basin (Subzon 3-a) using index flood procedure with L-moments. *J. Water resource management*, v. 12, p.1-12
- Sandoval, E., 2009. Mixed Distributions in Low-Flow Frequency Analysis. *Revista Ingenieria Investigación y Tecnología*, v. 10(3), p. 247-253.

- Smakhtin, V.Y. and Toulouse, M., 1998. Relationships between low-flow characteristics of South African streams, *South African Journals*, v. 24(2), p. 107-112.
- Todd, H. and Carol, W.M., 1998. Modeling of storm responses in conduit flow aquifers with reservoirs, *Journal of Hydrology*, v. 208(1–2), p. 82-91.
- Yevjevich, V. and Jeng, R.I., 1967. "Effects of in consistency and a homogeneity on hydrologic time series, "Proceedings International Hydrology Symposium, Fort Collins, Colorado, September 1967, v. 1, p. 58.

Archive of SID